

日本電信電話公社 ○正員 矢後良一
神戸大学大学院 山田耕三
神戸大学工学部 正員 軽部大蔵

1. まえがき

正規圧密粘土と過圧密粘土では、観察される力学的挙動は明らかに異なっている。従来は、正規圧密粘土との比較において過圧密粘土が論じられていたが、最近では、過圧密粘土そのものを対象とする研究がふえてきている。過圧密状態は多岐にわかつて存在するから、その力学的挙動を示すには、なお多くの実験事実を発見する必要がある。本報告は、このような立場に立ち、正規圧密状態からdry状態に至る広範な応力状態において行なった三軸圧縮試験の結果をとりまとめたものである。

2. 実験方法

試料、気乾状態の信楽陶土に蒸留水を加えスラリーとして 0.75 kg/cm^2 の圧力を加え圧密しロックサンブルを得た。

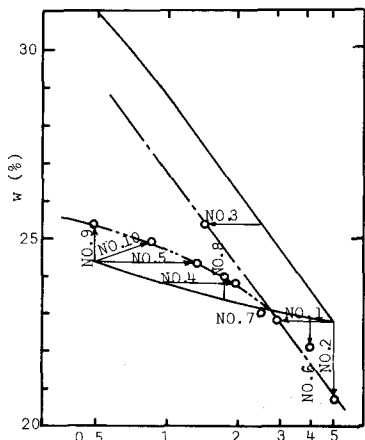
三軸圧縮試験：等方圧密・膨脹試験、過圧密比1～10のCU・CD試験を応力制御式段階載荷方式で行なった。(図-1の実験NO.1～10)

また図-2、図-3に示す経路の繰り返しせん断試験(NO.11～17)を行なった。

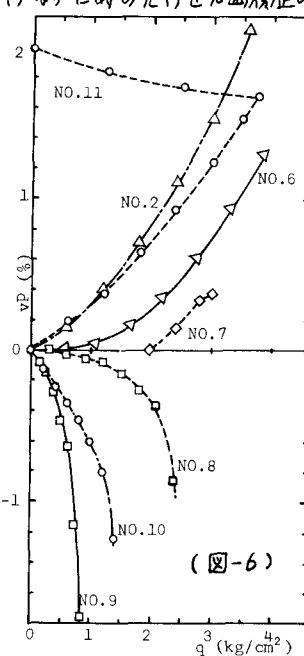
3. 実験結果

(1) (図-1)は圧密試験で得られた($w - \log P$)関係及 $\sigma_1 - \sigma_3$ のCU・CD試験から得られた破壊点を示す。Henkelが古くから確認し、大模量立らが提案しているように正規圧密と過圧密状態で別々の限界状態線が得られているが、これがひずみの不均一性によるものかどうかはわからない。

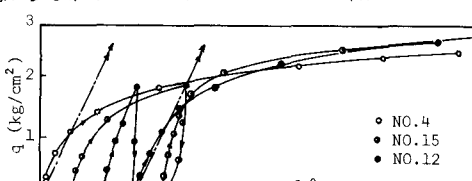
(2) (図-4)は正規領域で先行せん断履歴を与えた、dry領域で再せん断を行なった時の先行せん断履歴の影響を示す。NO.4とNO.12の(8～E)関係は



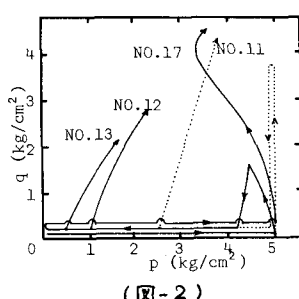
(図-1)



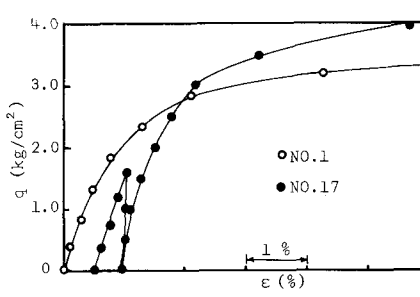
(図-6)



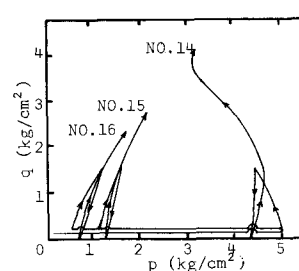
(図-4)



(図-2)



(図-5)



(図-3)

ほぼ一致した形状を示しており、先行履歴は発揮されない事がわかる。OCR 10 のものについても同様の結果が得られた。

一方、NO.17では先行せん断履歴の影響は、いくぶんぼやけたが先行せん断履歴が発揮される事が確認された。従って dry 領域、すなわちダイレイタシーサーの方向が逆転する領域では先行せん断履歴は、記憶するが発揮されない事がわかる。

項目(名)	Parry ³⁾	Balasubramanian ⁴⁾	London ⁵⁾	矢後山田 ⁶⁾	Lo ⁷⁾	村山 ⁸⁾	龍園 ⁹⁾
粘土名	Weald Clay	カオリン	カオリン	信楽粘土	Fornebu Clay	沼沢地帶粘土	ゆるづめ砂
E'/E_t	0.126	0.115	0.220	0.205	0.328	0.290	0.265
M	0.845	0.777	1.20	1.23	1.59	1.386	1.35
ϕ^*	21.7	20.1	30.0	30.0	38.9	34.2	33.4
WL(%)	46.0	74.0	72.0	44.4	60.0	38.3	
WP(%)	20.0	42.0	41.0	22.7	25.0	12.8	
$I_p(\%)$	26.0	32.0	31.0	21.7	35.0	25.5	
Cs	0.110	0.104	0.115	0.0465		0.041	
Cc	0.215	0.255	0.599	0.224		0.183	
C_s/C_c	0.512	0.406	0.115	0.208		0.224	
記号	○	△	●	◇	●	☆	◇
備考	応力繰り	応力繰り	応力繰り	応力繰り	応力繰り	ひずみ繰り	応力
実験	UD	D	U	DU	U	U	U

(表-1) \nearrow

4. 体積ひずみの重ね合わせ

正規圧密粘土の体積ひずみにおいて圧密成分と角のダイレイタシーサー成分の重ね合わせの成立は一般に認められており。一方 dry 領域では、図-6 に示すようにせん断の初期から大きな正のダイレイタシーサーを生じ、正規圧密粘土と似た挙動を示す。そこで dry 領域においても次式を仮定してみる。

$$V = (V^p + V^d)_{\text{初期}} + (V^p)_{\text{ダイレイタシーサー}}$$

$$= \frac{K}{1+e} \ln \frac{P}{P_0} + f(D, \eta)$$

一方応力比 (σ/σ_0) と体積ひずみの塑性成分の関係は、(図-7)のように整理されるので $f(D, \eta)$ は、dry 領域の粘土に特有 2 つのダイレイタシーサー定数 D_y , D_{yo} により決定されることがある。従って体積ひずみは次式により与えられる。

$$V = \frac{K}{1+e} \ln \frac{\sigma}{\sigma_0} + D_{yo} \cdot 10^{2y_0}$$

5. せん断ひずみの回復成分

Parry³⁾ が指摘したようにせん断ひずみの回復成分 δ' と全ひずみ ϵ' の関係は、排水条件、過圧密化、応力経路、間げき比などに依らず一定の関係にある事が確かめられる。(図-8)

(δ'/ϵ') と他の土質定数の関係を見るために、たとえば $M (= \gamma_{crit})$ との関係を(図-9)のように求めてみると、ほとんどばらつもなく直線関係にある。従って E'/E_t の実験式は次式で与えられる。

$$E'/E_t = 0.275M - 0.11$$

上式については、破壊付近での適用性などをさらにデータの蓄積が必要であるが、この関係が確かとすれば過圧密粘土の応力・ひずみ式も彈塑性理論によると並んで導けることになるかも知れない。

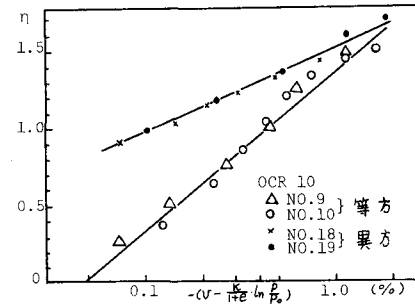
(参考文献)

1) 大模: 第 12 回土質工学研究発表会, pp.299-302. 2) 足立・東木: 土木学会

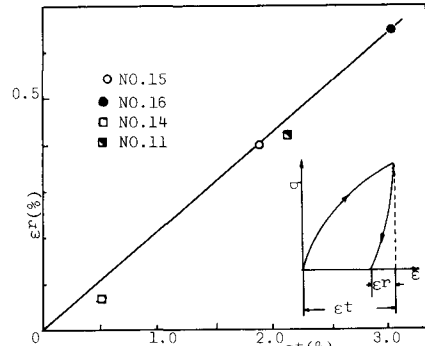
第 29 回講演集, II-42. 3) Parry & Nadarajah: Geotechnique, Vol. 23, pp.

345-358. 4) Balasubramanian: S&F, Vol. 15, No. 3. 5) Lo: Proc. 5th IC-SMFE, Vol. 1, pp. 219-224.

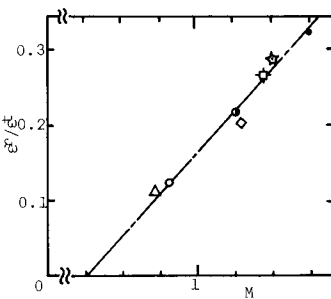
6) 村山・栗原: 京都大学防災研究年報, No. 12B. 7) Tatsuoka & Ishihara: S&F, Vol. 13, No. 3.



(図-7)



(図-8)



(図-9)